# 論文 粗骨材に電気炉酸化スラグを用いたコンクリートの高温加熱後の力 学的特性

横田 太志\*1・伊藤 洋介\*2・河辺 伸二\*3・横井 奨\*4

要旨:近年,電気炉酸化スラグはコンクリート骨材としての利用促進が期待されている。しかし,電気炉酸化スラグ粗骨材(以下,EFGとする)を用いたコンクリートの高温加熱後の力学的特性に関する知見は少なく,高温加熱後の力学的特性を把握することはEFGの利用促進のために重要である。そこで高温加熱前後の単位容積質量,圧縮強度,弾性係数を測定し,加熱後供試体と破断面の観察を行い,EFGを用いたコンクリートの力学的特性を確認した。これにより,EFGを用いたコンクリートの圧縮強度は常温においてEFGを用いないコンクリートよりも高くなるが,加熱の影響で低下しやすいことが分かった。

キーワード:電気炉酸化スラグ, EFG, コンクリート, 高温加熱, 単位容積質量, 圧縮強度, 弾性係数

#### 1. はじめに

電気炉酸化スラグは、鉄スクラップを溶融して粗鋼を 生産する際に排出される産業副産物である。かつて、電 気炉製鋼法で生成されるスラグは、酸化スラグと還元ス ラグを分離して取り出すことが困難であり、還元スラグ に含まれる遊離石灰や遊離マグネシアがコンクリートを 膨張させポップアウトを生じるため、コンクリート用骨 材として使用できなかった」。しかし、現在では製鋼法 の改善により、工程の分化がなされたため、電気炉酸化 スラグ骨材としてJIS A 5011-4 に規定されたり。

電気炉酸化スラグは、主に路盤材として利用されているが、未利用のまま堆積されているものも多くある。近年、電気炉酸化スラグ粗骨材(以下、EFG とする)は、所要の品質が得られることを確認してから使用することが可能になった<sup>2)</sup>。

また、骨材需要の増加や河川産骨材の利用が抑制されるようになったことから、コンクリート骨材の枯渇が問題となっている。そのため、電気炉酸化スラグをコンクリート骨材として利用することで、骨材不足の解消や自然環境保全、コスト削減などが期待できる。

EFG は普通粗骨材に比べ密度が高いため、建築物の基礎構造やγ線遮蔽用のコンクリートなどの重量コンクリートに利用することが有効である。

コンクリート構造物は熱の影響を受けると強度特性などの性質が変化するため、長期にわたり熱の影響を受ける可能性のある放射線遮蔽コンクリートや焼却施設のコンクリートに関して、供用時の温度制限値が設けられている<sup>3)</sup>。また、火災時においても高温加熱の影響を受け、コンクリートの性質が変化する。

しかし、EFGを用いたコンクリートの使用実績は少なく、高温加熱時における力学的特性に関する既往の研究は少ない。

そこで、本研究ではEFGを用いたコンクリートの高温加熱前後における単位容積質量、圧縮強度、弾性係数の変化について比較し、EFGの高温加熱後の影響について検討を行う。これにより、建築分野におけるEFGのコンクリート用骨材としての活用を促進する。

# 2. 実験概要

# 2.1 供試体

φ100×200mmの円柱供試体とする。打込みから24時間後に脱型し、4週間水中養生する。また打込み日から1週間後に載荷面の研磨を行う。供試体本数は、各実験条件に対して3本とする。

# 2.2 使用材料

表-1 に使用材料の品質を示す。セメントは普通ポルトランドセメント、細骨材は普通細骨材として豊田市産山砂、粗骨材は EFG と普通粗骨材として豊田市産山砂利を使用する。本研究で用いる EFG は徐冷スラグである。混和剤として、高性能 AE 減水剤はポリカルボン酸コポリマーを使用する。

表-1 使用材料の品質

骨材の	   粗粒率	吸水率	表乾密度	産地又は
種類	1 性私学	(%)	(g/cm <sup>3</sup> )	回収元
EFG	6.55	0.85	3.74	株式会社
EFG			3.74	星野産商
砂利	6.83	1.22	2.60	豊田市
砂	2.80	1.58	2.55	豊田市

<sup>\*1</sup> 名古屋工業大学 社会工学科 (学生会員)

<sup>\*2</sup> 名古屋工業大学大学院 准教授 博(工) (正会員)

<sup>\*3</sup> 名古屋工業大学大学院 教授 工博 (正会員)

<sup>\*4</sup> 名古屋工業大学大学院 社会工学専攻 (学生会員)

写真-1 に EFG 及び普通粗骨材を示す。砕石である EFG の表面はガラス質であって、凹凸が見られる。同様 に砕石である普通粗骨材と比較して、密度が高く、吸水率が小さい。

# 2.3 調合

表-2 にコンクリートの調合を,表-3 にフレッシュコンクリートの性状を示す。水セメント比 50%,単位水量 170kg/m³,細骨材率を 48.0%とし,普通粗骨材と置換した EFG の割合(以下, EFG 混合率とする)の違いによる加熱後の力学的特性の変化を段階的に把握するため, EFG 混合率は 0%,50%,100%の 3条件とする。コンクリートのフレッシュ性状は目標スランプ値を 18.0±2.5cm,目標空気量 4.5±1.0%とする。しかし,EFG を使用する場合は,コンクリートのワーカビリティや耐凍害性を確保するために,空気量は 1%程度大きくすることが推奨されている 1。そのため,EFG を混合する調合では目標空気量を 5.5±1.0%とする。

#### 2.4 加熱条件

表-4 に実験条件を示す。原田  $^4$ によれば,一般にコンクリートは,500<sup> $\circ$ </sup>〇以上で加熱された際に大きな亀裂を発生し,構造材料としての利用は困難となる。そのため,本実験では加熱温度の上限を 600<sup> $\circ$ </sup>Сとし,加熱温度は常温及び 100<sup> $\circ$ </sup>Cごと 100 $^{\circ}$ 600  $^{\circ}$ Cとする。

# 3. 実験内容

### 3.1 加熱方法

図-1 に加熱方法の概要を示す。加熱にはプログラム機能付き電気炉を用いる。既往の研究 5より、供試体の内外温度差及び供試体内部における温度分布の不均一さによる熱応力の影響を小さくし、加熱時間の差による影響を考慮し昇温速度は100℃/h とし、予備加熱を60℃で





写真-1 使用した粗骨材(左:EFG, 右:普通粗骨材)

3 時間行う。また各加熱温度到達後,供試体内部の温度 を均一にするため,加熱温度を 24 時間保持した後に自 然冷却を行う。

#### 3.2 力学的特性の測定

加熱前後で供試体の寸法及び質量を測定し、単位容積質量を求める。本研究では、供試体の直径は加熱後の供試体の上下端面の直交する2方向について測定し、その平均値から供試体の底面積を算出する。また供試体の高さは上面の直径を4等分する3点を測定し、その平均値を供試体の高さとする。底面積と高さの積を供試体の体積と定義する。

アムスラー型万能圧縮試験機を用いて, コンプレッソメータを取り付けた供試体を JIS A 1108:2018 に基づき載荷し, 荷重と変位を測定して, これらにより圧縮強度と

表-3 フレッシュコンクリートの性状

EFG 混合率(%)	スランプ(cm)	空気量(%)
0	20.4	5.2
50	19.1	5.8
100	18.0	5.7

表-4 実験条件

項目	摘要	水準数	
加熱温度	20(常温), 100, 200,	7	
(°C)	300,400,500,600	/	
EFG 混合率	0.50.100	,	
(%)	0,50,100	3	

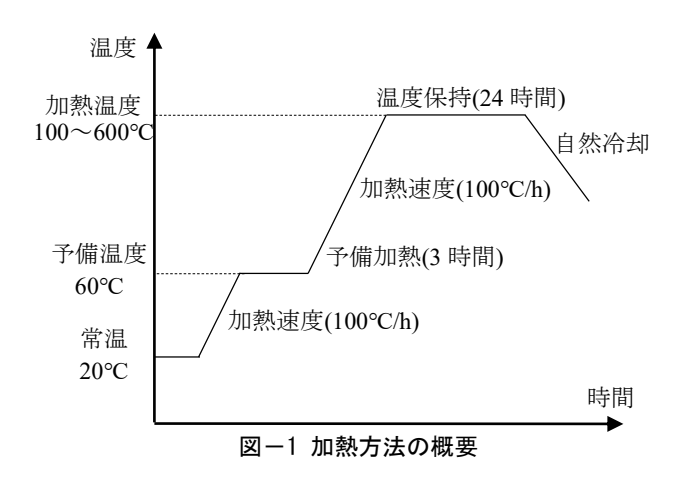


表-2 コンクリートの調合

EEO 油 A 去	水セメント	細骨材率		単位質量(kg/m³)				호바상 • 교사·호
EFG 混合率	(W/C)	(s/a)	水	セメント	普通細骨材	普通粗骨材	EEC	高性能 AE 減水剤
(%)	(%)	(%)	(W)	(C)	(S)	(G)	EFG	(×C%)
0						915	-	
50	50	48.0	170	340	829	458	658	0.75
100						-	1316	

弾性係数を算出する。

EFG 混合率の違いによる単位容積質量,圧縮強度及び 弾性係数の変化について比較する。

各加熱温度における単位容積質量,圧縮強度,弾性係数をそれぞれの常温時の値で除した値(以下,残存比とする)を算出する。単位容積質量残存比,圧縮強度残存比,弾性係数残存比により,コンクリートの力学的特性について高温加熱による変化のみを比較する。

#### 3.3 加熱後供試体の外観及び破断面の観察

各加熱温度で加熱した供試体を自然冷却し、常温まで 冷ました供試体の外観を観察し、高温加熱による供試体 の変化を把握する。

圧縮試験を行った供試体の破断面を観察し、加熱温度 による供試体の破断面を比較し、変化の要因を調べる。

#### 4. 実験結果

# 4.1 加熱後供試体の状態

高温加熱後の供試体の外観を表-5 に示し、供試体の ひび割れを赤線で示す。

300℃まではいずれの供試体においてもひび割れは生じない。400℃において EFG 混合率 50%の供試体 3 本の内の 1 本に微小なひび割れが生じるが他の供試体には生じなかった。500℃以降では EFG を用いたコンクリートにひび割れが生じ,600℃では 500℃と比較して大きなひび割れが生じる。また $\mathbf{表}-\mathbf{5}$  より,EFG 混合率が高くなるほどひび割れが大きくなる。

一方、EFG を用いないコンクリートでは 600 $^{\circ}$ Cにおいてもひび割れは生じない。

図-2 から、加熱温度が 400<sup>°</sup><sup>°</sup><sup>°</sup><sup>°</sup> 以降において 42<sup>°</sup>( $2\theta$ )と 62<sup>°</sup>( $2\theta$ )付近で、Wustite のピークが小さくなっている。また 400<sup>°</sup><sup>°</sup> 以降において 36<sup>°</sup>( $2\theta$ )と 63<sup>°</sup>( $2\theta$ )付近において、Magnetite のピークが生じている。Ducman らのによれば、

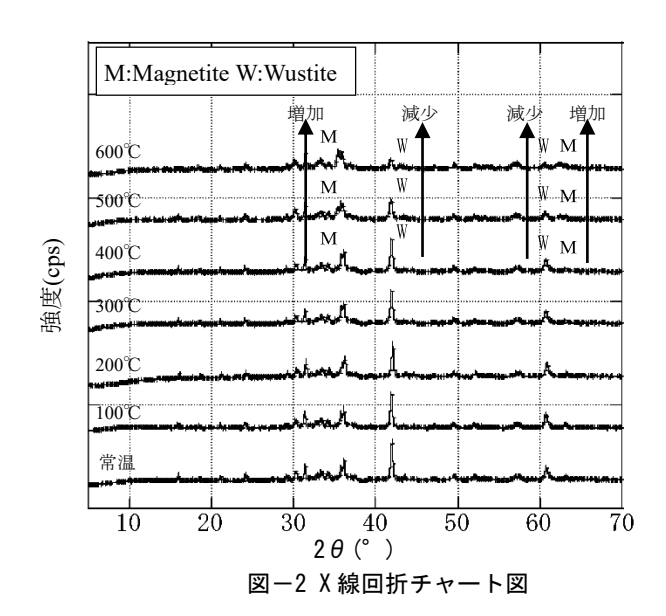


表-5 高温加熱後の供試体の外観

EFG	加熱温度(℃)						
混合率(%)	300	400	500	600			
0	普通網會林 E 60% 加熱温度 300°C 加熱後 n1	普通細骨材 FF00% 加熱温度 400°C 加熱後 n1	普通組骨材 EF60% 加熱温度 500°C 加熱後 nl	普通組費材 EF60% 加熱温度 600°C 加熱後 nl			
50	普通網骨材 EF650%6 加贴温度300°C 加熱後 n1	普通組貨材 EFG50% 加熱温度 400°C 加熱後 n1	查通網查科 EFG50% 加熱温度 500°C 加熱後 n1	普通組音材 EF650% 加熱温度 600°C 加熱後 n1			
100	普遍組管材 EFG100% 加熱温度 300°C 加熱後 n1	着連続者材 EFG100% 加熱温度 400°C か 加熱後 nl	音通報音材 EFG100% 加熱温度 500°C 加熱後 nl	普通網骨料 EF6100% 加熱提度 600°C 加熱後 n1			

EFG に含まれる Wustite が加熱によって Magnetite に変化したと考える。また, $\mathbf{表}-\mathbf{6}$  から Wustite は未焼成から600  $\mathbb{C}$  にかけて,42% から13% に減少し,Magnetite は400  $\mathbb{C}$  において発生し600  $\mathbb{C}$  にかけて,9% から26% に増加している。

Ducman らのによれば、加熱によって Wustite から Magnetite への組成変化が生じる際には体積膨張を伴う。これにより、加熱で Wustite が Magnetite に組成変化し、EFG が膨張したため、EFG を用いたコンクリートにひび割れが生じると考える。

なお、Wustite と Magnetite の熱膨張係数は、それぞれ  $1.402 \times 10^{-5}$  と  $1.041 \times 10^{-5}$  であり  $^{7}$  、Magnetite の方が小さい。このため、EFG を用いたコンクリートのひび割れは 熱膨張係数の変化によるものではないと考える。

# 4.2 単位容積質量

単位容積質量と加熱温度の関係を**図**-3 に、単位容積質量残存比と加熱温度の関係を**図**-4 に示す。

図-3より、常温時において単位容積質量は、EFG混合率が高いほど高い。これは、EFGが普通粗骨材に比べ密度が高いためである。また、いずれの加熱温度においてもEFG混合率が高いほど、単位容積質量は高い。

シュナイダー $^8$ によれば 100 で付近では自由水が蒸発することで、 $30\sim300$  では硬化セメントペーストの脱水作用が生じることで質量が低下する。また 180 で硬化セメントペーストの脱水速度が最大となる。そのため、

図-4 において、単位容積質量は 200℃まで大きく低下するが、300℃以降では低下が小さい。

また、EFG を用いたコンクリートは、500°C以降におい て EFG を用いないコンクリートと比較して単位容積質 量残存比が低下する。ここで、400℃及び500℃の加熱に よる供試体の質量低下量の平均値は, EFG 混合率 0%で それぞれ 313g, 324g, EFG 混合率 50%で 307g, 316g, EFG 混合率 100%で 307g, 325g であり, EFG 混合率の変 化が質量低下量の変化に及ぼす影響は小さい。一方, 400℃及び 500℃の加熱による供試体の体積膨張率の平 均値は, EFG 混合率 0%でそれぞれ 99.9%, 100.0%, EFG 混合率 50%で 100.2%, 102.6%, EFG 混合率 100%で 100.4%, 103.4%となり、EFGを用いたコンクリートのみ 500℃において体積膨張が生じる。これにより, EFG を用 いたコンクリートにおいて 500℃以降で単位容積質量残 存比が低下するのは供試体の質量の低下によるのでなく, 体積の増加によると言える。この体積の増加は前述の通 り、EFGの膨張によるものと考える。

#### 4.3 圧縮強度

圧縮強度と加熱温度の関係を**図**-5 に、圧縮強度残存 比と加熱温度の関係を**図**-6 に示す。

図-5 より、常温及び 100℃における圧縮強度は EFG 混合率が高いほど高い。また、200℃において圧縮強度は EFG 混合率の違いによらずほぼ等しい。400℃までは、 EFG を用いたコンクリートは EFG を用いないコンクリ

加熱温度 (℃)	Wustite (FeO)	Gehlenite (Ca <sub>2</sub> (Al <sub>2</sub> SiO <sub>7</sub> ))	Magnesium-Iron- Aluminum-Oxid (MgFeAlO4)	Kirschsteinite (MgFeAlO <sub>4</sub> )	Magnetite (Fe <sub>3</sub> O <sub>4</sub> )
未焼成	42	20	20	18	0
100	41	19	23	17	0
200	40	22	23	15	0
300	39	21	24	16	0
400	30	19	25	17	9
500	27	20	23	14	16
600	13	24	20	17	26

表-6 徐冷スラグ焼成後組成概算値(wt%)

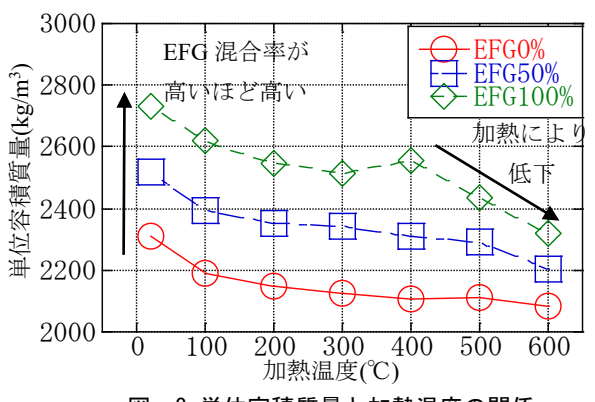


図-3 単位容積質量と加熱温度の関係

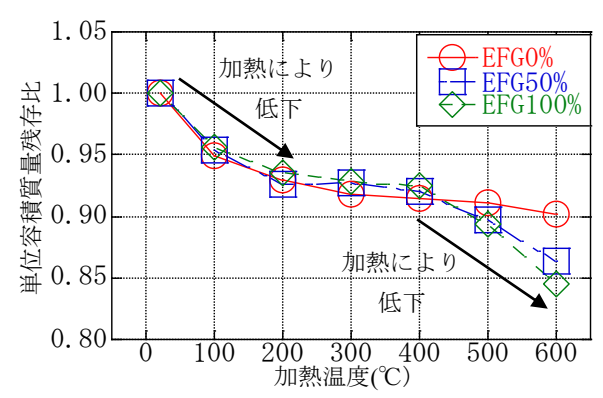


図-4 単位容積質量残存比と加熱温度の関係

ートと比較して圧縮強度が高い。Beaucour ら<sup>9</sup>によれば、 EFG の表面はモルタルとの接着がよく、EFG とモルタル 界面の接着力が強くなり、強度が高くなったと考える。

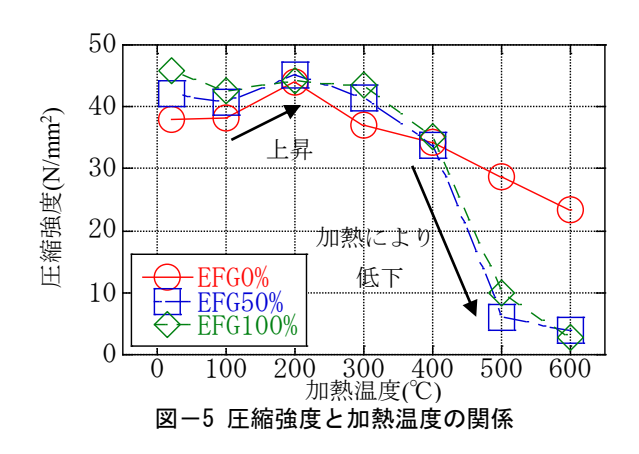
また、500<sup>°</sup>C以降において EFG を用いたコンクリートは、 $\mathbf{表}-\mathbf{5}$  に示す通り供試体にひび割れが生じるため、圧縮強度が、常温時の2割程度まで低下する。

図-6より、EFGを用いたコンクリートの圧縮強度残存比は常温時から100℃にかけて低下する。松戸ら100によれば、100~200℃においては、この強度低下が生じる一方で、遊離水の蒸発により発生した高温蒸気がコンクリート中の未水和セメント粒子の水和を促進し、かなりの強度発現に寄与する。そのため、200℃において圧縮強度残存比は、いずれのEFG混合率においても100℃における圧縮強度残存比と比較して増加する。

400℃以降において、EFG を用いたコンクリートの圧縮強度残存比は、EFG を用いないコンクリートと比較して低下する。 $\mathbf{表}-\mathbf{6}$  から、 $\mathbf{400}$ ℃以降において Wustite がMagnetite に組成変化し、EFG が膨張することにより供試体にひび割れが生じるためと考える。

# 4.4 弹性係数

600℃において、供試体のひび割れによる体積の膨張が著しいため、コンプレッソメータを取り付けることができない。そこで、本研究では500℃までの弾性係数を測定する。弾性係数と加熱温度の関係を図-7に、弾性係数残存比と加熱温度の関係を図-8に示す。



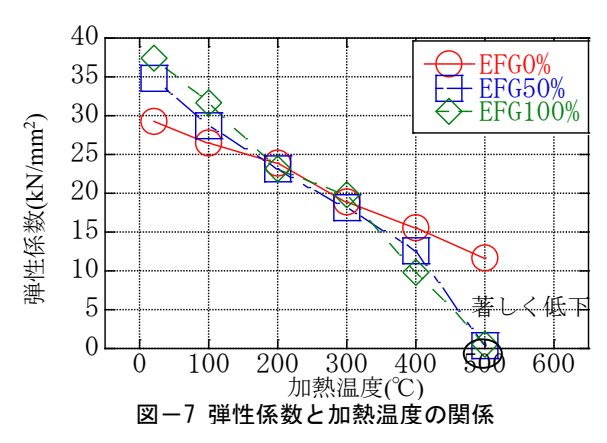


図-7より、常温時において弾性係数は、EFG 混合率が高いほど高い。これは EFG 混合率が高いほど単位容積質量が高いためである  $^{1}$ 。また、200  $^{\circ}$  こまでは EFG を用いたコンクリートの方が弾性係数は大きいが、300  $^{\circ}$  C以降では EFG を用いたコンクリートの方が小さくなる。

500℃において EFG を用いたコンクリートは弾性係数 が著しく小さい。加熱により供試体にひび割れが生じる ためであると考える。

図-8より、EFGを用いたコンクリートの弾性係数残存比は、EFGを用いないコンクリートと比較して加熱による低下が大きい。

# 4.5 破断面の観察

表-7 に加熱後供試体の破断面を示す。破断面の骨材破壊と界面破壊の代表例を赤丸で示す。圧縮試験後の供試体の破断面を観察すると、EFGを用いないコンクリートの破断面では、粗骨材の破壊はほとんど生じず、粗骨材とモルタルの接着界面で破壊されている。

一方、EFGを用いたコンクリートの破断面では、EFGが破壊されていることがわかる。Beaucourらったよれば、EFGの表面はモルタルとの相性がよく接着力が高いため、EFGとモルタルの界面で破壊されず EFGが破壊されたと考える。そのため、加熱温度によらず圧縮強度は、骨材強度の影響を受けると考える。これにより、400℃までは EFGを用いたコンクリートの方が EFGを用いないコンクリートよりも、圧縮強度が高くなると考える。

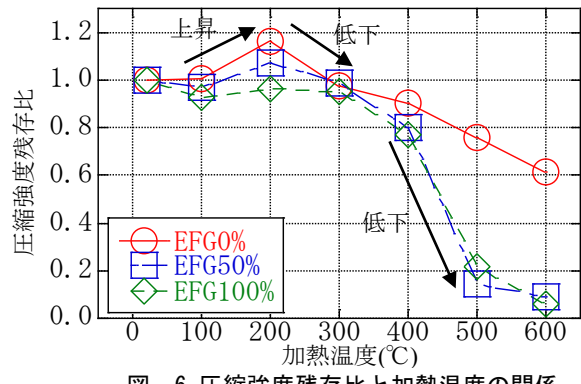


図-6 圧縮強度残存比と加熱温度の関係

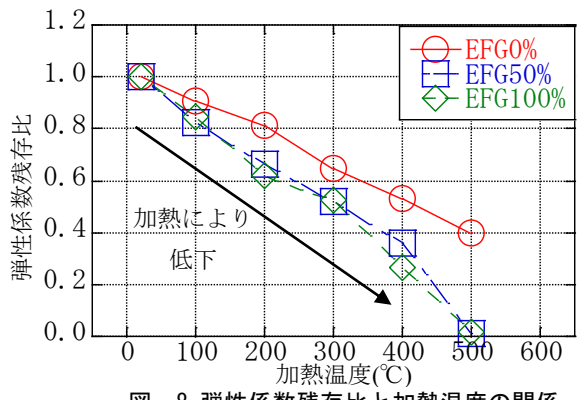


図-8 弾性係数残存比と加熱温度の関係

表-7 加熱後供試体の破断面

		加熱温度(℃)					
		常温	200	400	500		
EFG 混合率	0						
(%)	100	骨材破	界面破壞				

# 5. まとめ

本研究の測定の範囲において以下のことがわかった。

- 1) 500<sup> $\circ$ </sup> C以降では EFG を用いたコンクリートにひび割れが生じ、600<sup> $\circ$ </sup> では 500<sup> $\circ$ </sup> と比較して大きなひび割れが生じる。一方、EFG を用いないコンクリートでは600<sup> $\circ$ </sup> においてもひび割れは生じない。
- 2) 加熱により Wustite が Magnetite に組成変化したこと により EFG が膨張し、EFG を用いたコンクリートに ひび割れが生じる。
- 3) 常温時において単位容積質量は、EFG 混合率が高い ほど高い。500℃以降では、EFGを用いたコンクリー トではひび割れが生じ、供試体の体積が膨張するため 単位容積質量残存比が低下する。
- 4) 400℃までは、EFG を用いたコンクリートは EFG を用いないコンクリートと比較して圧縮強度が高い。
- 5) 400℃以降において, EFG を用いたコンクリートの圧 縮強度残存比は, ひび割れが生じるため, EFG を用い ないコンクリートと比較して低下する。
- 6) EFG を用いたコンクリートの弾性係数残存比は、EFG を用いないコンクリートと比較して加熱による低下が大きい。
- 7) EFG 骨材の表面はモルタルとの相性がよく接着力が 高いため、加熱温度によらず圧縮強度は、骨材強度の 影響を受ける。

謝辞 本研究の一部は、公益財団法人鉄鋼環境基金 2020 年度研究助成金の助成・支援を受けたものです。株式会社竹本油脂は混和剤のご提供とコンクリートの調合についてご協力をいただきました。株式会社星野産商は EFG をご提供いただきました。ここに、謝意を表します。

#### 参考文献

- 土木学会:電気炉酸化スラグ骨材を用いたコンクリートの設計・施工指針(案), 2003.3
- 2) 日本建築学会:電気炉酸化スラグ細骨材を用いるコンクリートの設計施工指針(案)・同解説,2005.4
- 3) 日本建築学会: 構造材料の耐火性ガイドブック 2017, 日本建築学会, 2017.4
- 4) 原田有:高熱を受けたコンクリートの強度と弾性の変化(第3報,強度と弾性の自然回復)日本建築学会論文報告集,No.56,pp.1-7,1957.6
- 5) 河辺伸二, 岡田和寿, 滝本憲太: 再生骨材を用いたコンクリートの高温加熱後の力学的特性, コンクリート工学年次論文集, Vol.29, No.1, pp.783-788, 2007.7
- Ducman, V., Mladenovic, A.: The potential use of steel slag in refractory concrete, MATERIALS CHARACTER-IZATION, Vol.62, No.1, pp.716-723, 2011.4
- 小野田守,佐々木晃:鉄及び酸化鉄の諸物性値,東北 大学選鉱製錬研究所彙報, Vol.24, No.1, p.104, 1969.1
- 8) U. シュナイダー: コンクリートの熱的性質, 技報堂, 1983.1
- Beaucour, A.-L., Pliya, P., Faleschini, F., Njinwoua, R., Pellegrino, C., Noumowe, A.: Influence of elevated temperature on properties of radiation shielding concrete with electric arc furnace slag as coarse aggregate, Construction and Building Materials, Vol.256, 119385, 2020.9
- 10)松戸正士,西田浩和,大塚貴弘,平島岳夫,安部武雄: 高温加熱時における高強度コンクリートの力学的特性について,日本建築学会構造系論文集,第73巻, 第624号,pp.341-347,2008.2